

ساخت و بررسی خواص نانوکامپوزیت طبیعی و زیست ساز گار کایتوسن/مگنتیت

فاطمه حیدری^{*}، رضا بازرگان لاری^۲، محمدابراهیم بحرالعلوم^۳

۱- استادیار، گروه مهندسی مواد، دانشکده مهندسی، دانشگاه یاسوج، کهگیلویه و بویر احمد، ایران

۲- استادیار، گروه مهندسی مواد، واحد مرودشت، دانشگاه آزاد اسلامی، مرودشت، ایران

۳- استاد، گروه مهندسی مواد، دانشکده مهندسی، دانشگاه شیراز، فارس، ایران

*f.heidari@yu.ac.ir

(تاریخ دریافت: ۹۳/۰۳/۱۹، تاریخ پذیرش: ۹۳/۰۵/۱۹)

چکیده

کایتوسن و مگنتیت هردو ماده ای زیست ساز گار و زیست تخریب پذیر هستند. در این مقاله نانوکامپوزیت کایتوسن طبیعی و مگنتیت با روش جدید رسوب دهی در جا ساخته شده است. کایتوسن به کار رفته شده در این نانوکامپوزیت از پوست میگویی صید شده از خلیج فارس، استخراج شده و درصد استیله زدایی آن برابر با $73/5$ درصد می باشد. مورفولوژی سطح این نانوکامپوزیت، اندازه نانوذرات مگنتیت رسوب داده شده در زمینه کایتوسن و همچنین تعیین گروه های عامل مواد تشکیل دهنده آن به ترتیب با میکروسکوپ الکترونی روبشی (SEM)، میکروسکوپ الکترونی عبوری (TEM) و اسپکتروسکوپی مادون قرمز (FTIR) انجام شده است. تشخیص نانوذرات مگنتیت و بررسی اندازه بلور آن با آنالیز تفرق اشعه ایکس (XRD) انجام گردید که نتیجه حاصل $23/5$ نانومتر بود. اندازه گیری های مغناطیسی به کمک دستگاه VSM نشان داد که شدت مغناطیس اشاعر برابر با $3/04 \text{ emug}^1$ می باشد، همچنین مقدار نیروی کورسیو برابر با $128/39 \text{ Oe}$ است. نانوکامپوزیت کایتوسن/مگنتیت با مقدار کمتر مگنتیت مغناطیس اشاعر کمتری دارد. این نتایج نشان دادند که نانوکامپوزیت حاصل پارامغناطیس می باشد. همچنین به منظور بررسی زیست ساز گاری، نمونه های تولید شده در حضور سلول های بنیادی کشت داده شدند و نتایج بدست آمده زیست ساز گاری نانوکامپوزیت حاصل را تایید کرد.

واژه های کلیدی:

کایتوسن، مگنتیت، نانوکامپوزیت، زیست ساز گاری.

۱- مقدمه

در نتیجه اغلب عمل جراحی ثانویه برای بیرون آوردن کاشتنی فلزی بعد از بهبود استخوان لازم است که این عمل برای بیمار، سخت و هزینه بر است. کاشتنی های پلیمری تخریب پذیرنیاز به عمل ثانویه را منتفی کرده و می توانند از بروز بعضی مشکلات

کاشتنی های فلزی بطور گسترده به منظور معالجه استخوان به کار می روند [۱]. اما برخی مشکلات خاص از قبیل تنفس های ناشی از بهبود استخوان، تورم مزمن بدليل خوردگی، خستگی و سست شدن کاشتنی با استفاده از آنها به وجود خواهد آمد [۲].

مغناطیسی خارجی تحت تاثیر قرار می‌گیرند بنابراین در جهت دار کردن رشد سلول های استخوان ساز تاثیر بسزایی خواهند داشت [۱۰]. حاملین نانویی مغناطیسی عملکرد خوبی دارند چرا که سطح مخصوص بیشتر و مقاومت در برابر نفوذ داخلی کمتری را دارا می‌باشند [۱۱].

بر پایه گزارشات اخیر، حضور نانواسیدهای آهن در هیدروکسی آپاتیت می‌تواند نفوذناپذیری در برابر اشعه و هم چنین فعالیت تکثیر یاخته استخوان ساز را افزایش دهد [۱۲]. هیدروکسی آپاتیت دوپ شده با Fe_3O_4 حلالیت بهتر در محلول های فیزیولوژی را در مقایسه با هیدروکسی آپاتیت تنها از خود نشان می‌دهد [۱۳]. همچنین هو و همکارانش روی ساخت نانوکامپوزیت کایتونسن/مگنتیت به منظور کاربردهای زیست پزشکی کار کردن و ویژگی های آن را بررسی کردند. آنها در ساخت این نانوکامپوزیت از روش رسوب دهی درجا استفاده کردند و کایتونسن مورد استفاده آنها مصنوعی بود [۱۴]. هدف از این پژوهش، ساخت و بررسی خواص نانوکامپوزیت کایتونسن/مگنتیت می‌باشد. دلیل استفاده از کایتونسن در کنار مگنتیت به دلیل زیست تخریب پذیر بودن کایتونسن در محیط بدن و محلول های فیزیولوژیکی می‌باشد. همچنین سلول های زنده می‌توانند در اطراف این نانوذرات فعالیت کرده و بافت پلی ای را تشکیل دهند [۱۲]. کایتونسن بعد از قرار گیری در این محیط ها شروع به تجزیه می‌کند به این ترتیب سلول های استخوانی تولید شده به راحتی در فضای حفره های بوجود آمده در نتیجه تخریب کایتونسن قرار گرفته و شروع به رشد می‌کنند. همچنین دلیل استفاده از مگنتیت به عنوان بخش دوم این نانوکامپوزیت این است که مگنتیت در حضور میدان مغناطیسی خارجی می‌تواند به رشد این سلول های استخوانی جهت دهد. به منظور تهیه این نانوکامپوزیت از کایتونسن طبیعی استفاده شده به این صورت که کایتونسن از پوست میگو استخراج شده است که مطمئناً نسبت به نوع مصنوعی خود از نظر اقتصادی مقرن به صرفه تر هستند. نانوذرات مگنتیت به روش رسوب دهی در زمینه کایتونسن رسوب داده شد. به این ترتیب با توجه به خواص هر دو

از قبیل تنش های بعد از بهبود استخوان، جلوگیری به عمل آورند. علاوه بر این، می‌توانند همزمان برای دارو رسانی یا تسريع رشد استخوان استفاده شوند [۳].

در حقیقت، مواد مطلوب در استفاده های اورتوپدی مواد زیست-تقلیدی زیست تخریب پذیر هستند که بتوانند تشکیل استخوان جدید توسط سلول های استئوجینیک در بافت آسیب دیده را ترغیب کنند. به طور ایده آل، این مواد باید به صورت چوب بست های متخلخل باشند که مکانی برای پیشرفت و توسعه بافت را فراهم آورده و هم چنین بتوانند یک محافظ مکانیکی نیز باشند. مواد زیستی مناسب برای بافت های استخوانی سخت شامل سرامیک هایی از قبیل هیدروکسی آپاتیت و یا تری کلسیم فسفاتو پلیمرهایی چون پلی هیدروکسیل اسید، پلی لاکتیک اسید، پلی گلایکولیک اسید یا کوپلیمر آنها پلی لاکتیک اسید-گلایکولیک اسید می‌باشد [۴].

کایتونسن به عنوان پلیمر جایگزین مورد استفاده در کاربرد های اورتوپدی پیشنهاد می‌شود چرا که زیست سازگاری خوبی دارد [۵]، غیر سمی و زیست تخریب پذیر است و در درمان جراحت ها و زخم های مادرزادی موثر است [۶-۷]. کایتونسن که عمدتاً از دی استیله کردن کایتین بدست می‌آید، یک پلی ساکاراید کاتیونی طبیعی می‌باشد.

به منظور افزایش زیست فعالیت و خواص مکانیکی مواد مورد استفاده در ترمیم استخوان آسیب دیده، یک روش مناسب تهیه چوب بست کامپوزیتی از دو فاز آلی و معدنی می‌باشد [۸].

مگنتیت ماده دیگری است که در کامپوزیت های زیست تخریب پذیر با کاربردهای پزشکی در زیست سنسورها، تصویربرداری رزونانس مغناطیسی، سنجش ایمنی، گرمادرمانی و سیستم های دارو رسانی مورد استفاده قرار می‌گیرد. به این منظور سطح نانوذرات فریت با مواد زیست سازگاری از قبیل طلا، کایتونسن، سیلیکا، تیتانیا و هیدروکسی آپاتیت پوشش داده می‌شود. در این بین، نانوذرات فریت پوشش داده شده با هیدروکسی آپاتیت امیدبخش تر هستند [۹]. بزرگترین فایده این نانوذرات سوپرپارامغناطیس این است که به راحتی توسط یک میدان

محلول به مدت یک ساعت در دمای اتاق همزده می شود. بعد از قالبگیری محلول حاصل به مدت دوازده ساعت نگه داشته می شود تا حباب های آن خارج شود. بعد از قالب گیری مدل فوق در محلول ۵٪ هیدروکسید سدیم به مدت دوازده ساعت خیسانده می شود، این کار باعث می شود تا یک لایه کایتوسن روی دیواره درونی مدل تشکیل شود. و سپس با آب مقطر شستشو داده می شود تا مقدار pH سطح به ۷ برسد. در نهایت این کامپوزیت ژلی شکل در آون در دمای ۶۰ درجه سانتی گراد به مدت ۲۴ ساعت نگه داشته می شود تا بطور کامل خشک شود. مقدار کاهش ابعاد آن در حین خشک شدن تقریباً به اندازه ۵٪ می باشد. به این ترتیب نانوکامپوزیت کایتوسن/مگنتیت تهیه می شود.

۳-۳-۲- آنالیز تفرق اشعه ایکس (XRD)

ساختار کریستالی و فازهای موجود در چوب بست حاصل با تفرق اشعه ایکس (Bruker AXS D8 Discover) مورد آنالیز کیفی قرار می گیرد. پراش پرتو ایکس در محدوده ۱۵ تا ۸۰ درجه و با سرعت ۰/۰۵ درجه بر ثانیه ثبت می گردد.

۴-۴- آنالیز مادون قرمز (FTIR)

ساختار ترکیبی چوب بست تولید شده با طیف IR بدست می آید. این آنالیز در محدوده طول موج ۳۰۰ تا ۴۰۰۰ cm⁻¹نجام می پذیرد. به منظور انجام این آنالیز نمونه های مورد نظر به صورت پودر در آورده می شوند و پس از مخلوط سازی با KBr و تبدیل قرص مورد نظر مورد آنالیز قرار می گیرند.

۵-۵- میکروسکوپ الکترونی روبشی (SEM)

تصاویر میکروسکوپ الکترونی روبشی (Oxford Leo 440) مورفولوژی و تخلخل این نانوکامپوزیت را نشان می دهد. به این منظور، نمونه ها بر روی استب های آلومینیمی با نقره پوشش داده می شوند (Polaron SC 7640).

جزء این نانوکامپوزیت، یک داربست زیست سازگار از کایتوسن/مگنتیت تولید خواهد شد که خواص آن مورد بررسی قرار می گیرد. به منظور بررسی ویژگی های ترکیبی، مورفولوژی و زیست سازگاری این نانوکامپوزیت از SEM, TEM FTIR, XRD, VSM و کشت سلولی در حضور سلول های بنیادی استفاده شده است.

۲- فعالیت های آزمایشگاهی

۲-۱- استخراج کایتوسن از پوست میگو

ابتدا پوست میگو ها باید شسته شوند. پس از شستشوی کامل نمونه ها را باید آسیاب کرد. برای از بین بردن پروتئین های موجود در پوست میگوها از محلول ۵ درصد وزنی هیدروکسید سدیم در دمای ۶۰ درجه سانتی گراد استفاده می شود. موادمعدنی زدایی معمولاً به وسیله محلول آبکی اسید کلریدریک ۱۰ درصد وزنی انجام می شود. همچنین این فرایند به از بین بردن سوم موجود در پوست میگو نیز کمک می کند. برای بدست آوردن محصولی سفید رنگ از کلروفورم، اتر یا اتانول استفاده می شود. کایتوسن یکی از مشتقات کایتین است و برای تهیه آن باید گروه های استیل کایتین را از بین برد. این کار در یک محیط قلیایی انجام شده و استیل زدایی نامیده می شود. تبدیل کایتین به کایتوسن با استفاده از هیدروکسی سدیم یا هیدروکسی پتاسیم غلیظ صورت می پذیرد. به این منظور غلظت محلول قلیایی باید ۴۰-۵۰ درصد وزنی بوده و دما به ۱۰۰ درجه سانتی گراد رسانده شود[۱۵].

۲-۲- تهیه نانوکامپوزیت مگنتیت/کایتوسن

به منظور تهیه این نانوکامپوزیت از روش رسوب دهی درجا استفاده می شود. به این صورت که ابتدا محلول کایتوسن در اسید استیل ۲٪ حل می شود و هم زده می شود تا یک محلول ویسکوز یکدست تهیه شود. بعد از آن نمک های کلرید فریک و فرو (خلوص ۹۹٪، شرکت سازنده Merck) با نسبت ۲ به ۱ در آب مقطر حل شده و به محلول حاصل افزوده می شود. این

گذشت هفت روز نمونه ها با فلورسنس به طول موج ۵۹۰ نانومتر توسط اسپکتروفوتومتر مورد بررسی قرار می گیرند. در نهایت تعداد کل سلول های زنده چسبیده شده به نمونه با استفاده از منحنی استاندارد قابل تعیین می باشد.

۳- نتایج و بحث

۳-۱- آنالیز تفرق اشعه ایکس

شکل ۱ آنالیز اشعه ایکس نانوکامپوزیت مگنتیت/کایتونس را نشان می دهد. ترکیبات آلی (کایتونس) که ساختار امورف دارند، پیکی را نشان نمی دهند اما در برخی از مراجع پیک های پهن و کوتاه بین ۱۵ تا ۲۰ درجه به کایتونس نسبت داده می شود [۱۱]. پیک های موجود در $30/31$ ، $35/5$ ، 44 ، 48 ، 57 و $62/5$ پیک های اصلی مگنتیت هستند که برخی از آنها در الگوی پراش وجود دارند. دلیل عدم وجود برخی از پیک ها همپوشانی ترکیبات آلی کایتونس با نانوذرت مگنتیت است. همچنین برخی از پیک های مربوط به Fe_2O_3 نیز در کنار مگنتیت رویت شد به این ترتیب که پیک های موجود در $45/5$ ، $45/8$ و $31/8$ درجه مربوط به این اکسید می باشند. به این ترتیب حضور ذرات مغناطیسی Fe_3O_4 و Fe_2O_3 در زمینه کایتونس به اثبات رسید. سایز متوسط بلور های مگنتیت از فرمول شر بدلست می اید: $d = b \cos \theta / 9 \lambda$. در این فرمول d سایز کریستال بر حسب نانومتر، λ طول موج تکفam اشعه ایکس برابر با 1541 nm ، b پهنهای پیک در نصف ارتفاع ماکریم پیک تفرق (رادیان) و θ زاویه برآگ بر حسب درجه می باشد. با توجه به اینکه بلندترین پیک برای مگنتیت مربوط به زاویه $35/5$ درجه می باشد نصف پهنهای پیک در همین ارتفاع اندازه گیری شده و در فرمول گذاشته شد. به این ترتیب اندازه بلور های کریستال مگنتیت $23/5$ نانومتر بدلست می آید.

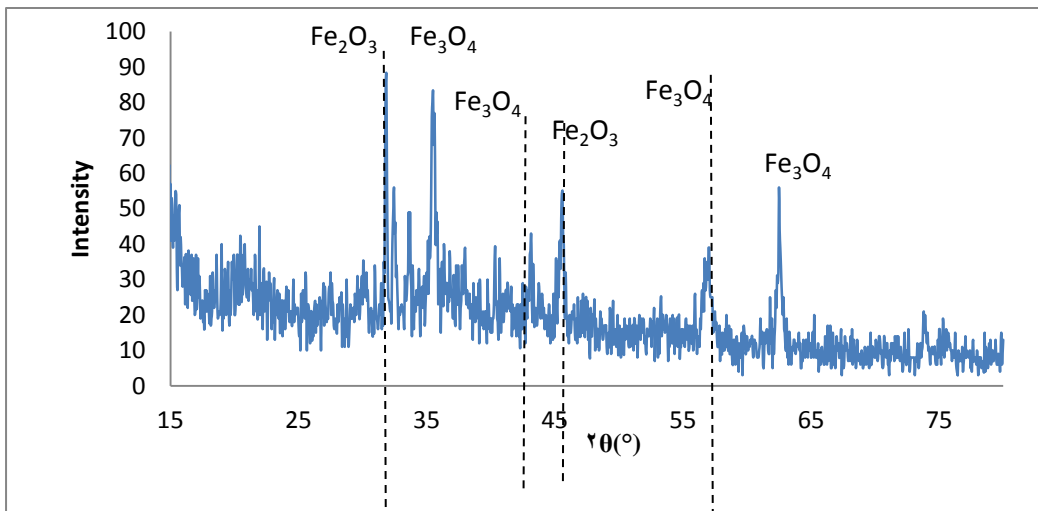
۲-۶- مغناطیسی سنج لرزانده نمونه (VSM)

خواص مغناطیسی نانوذرات مگنتیت با استفاده از VSM انجام گرفت. نمونه های پودر شده تحت میدان مغناطیسی اعمالی بین $189 \text{ kOe} \pm 5$ در دمای محیط مورد آزمایش قرار گرفتند.

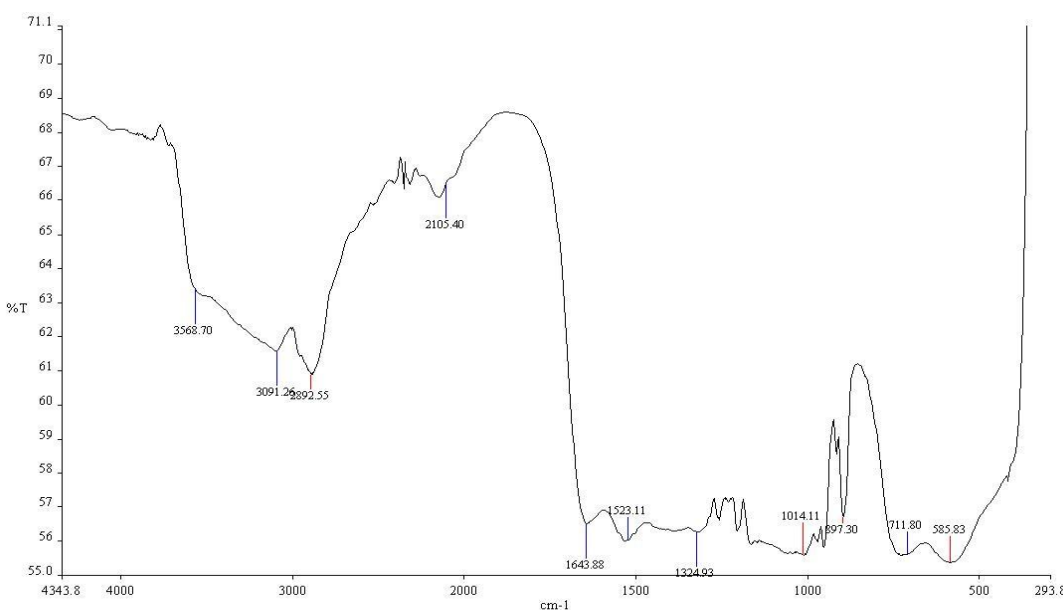
۷- ۲- کشت سلولی

کشت سلولی در حضور Human Mesenchymal Stem Cells انجام گردید. این سلول ها از مغز استخوان انسان جدا شده MesenPRORS (lifetechology # A15652) و در محیط 37°C درجه سانتی گراد کشت داده شده اند. سلول های خریداری شده ابتدائا در فلاسک های 75 سانتی متر مربعی تحت کشت قرار گرفتند و به مدت سه روز رشد داده شدند. سپس به فلاسک های جدید با همان ابعاد و با غلظت 4000 سلول در واحد سطح منتقل شدند. محیط کشت هر دو روز یکبار تازه می شد. فلاسک ها با محلول PBS شستشو داده می شدند. تکثیر سلول روی هر نمونه با استفاده از PrestoBlue ساخت امریکا اندازه گیری شد که به منظور اندازه گیری از نور فلورسنت کمک می گرفت. نمونه ها هر دو ساعت یکبار با اشعه فرابنفش استریلیزه می شدند و در صفحات کشت 24 تایی قرار داده می شدند تا کمترین تماس را با هم داشته باشند. هر نمونه با $10^4 \times 8$ سلول کشت داده شدند.

بعد از گذشت 24 ساعت در دمای 37°C درجه و با اتمسفر دی اکسید کربن، نمونه ها توسط PBS شستشو داده شدند تا سل هایی هایی که به نمونه ها نچسبیده اند، جدا شوند. در نهایت نمونه های شستشو داده شده به صفحات جدید منتقل می شدند. این صفحات به مدت هفت روز در محیط MesenPRORS قرار داده می شدند و هر دو روز یکبار محیط آنها تازه می شد. نمونه هایی که در محیط قرار گرفته اند اما سلولی روی آنها کشت نشده به عنوان نمونه کنترل در نظر گرفته می شوند. بعد از



شکل (۱): آنالیز اشعه ایکس نانوکامپوزیت کایتونس/مگنتیت



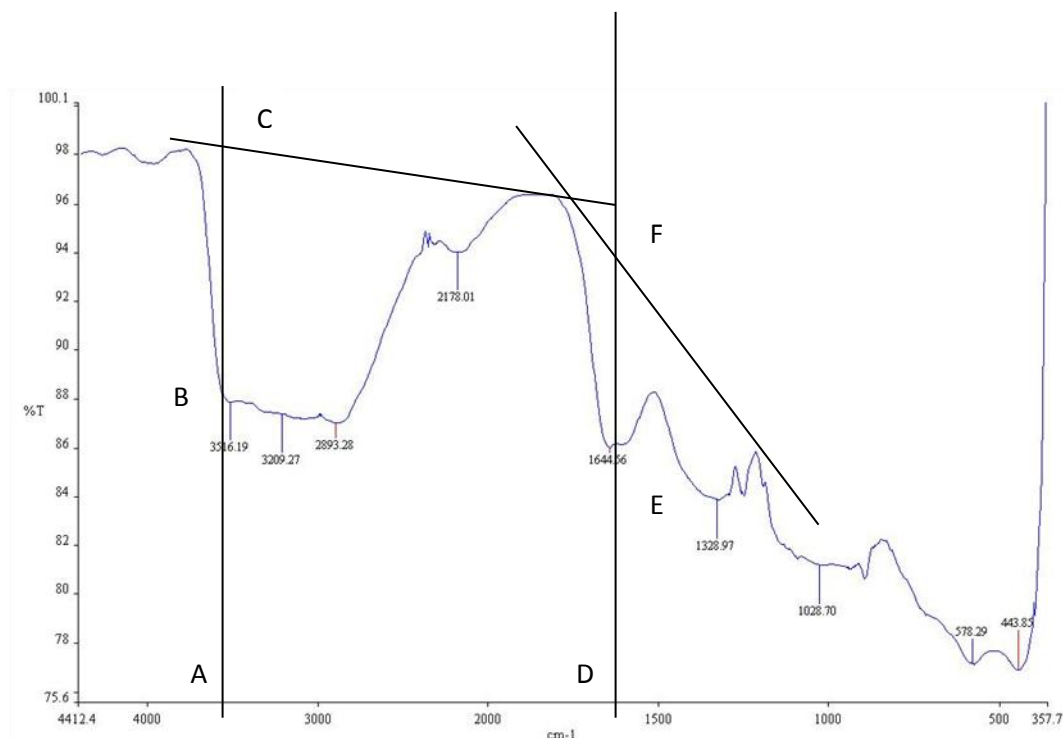
شکل (۲): نمودار FTIR مربوط به نانوکامپوزیت کایتونس/مگنتیت

محدود طول موج بین ۲۸۷۹/۵۵ و ۲۸۸۷/۹۵ مربوط به گروه های متیل موجود در کایتونس می باشد. در نهایت پیک کوچک موجود در ۵۸۵/۸۳ به پیوند های O-Fe می گردد. دلیل تیز بودن این پیک بخاطر وجود کایتونس و تاثیر آن بر لرزش پیوند های O-Fe می باشد. آنالیز FTIR موجود نشان داد که ماده استخراج شده از پوست میگو همان کایتونس می باشد و همچنین

۲-۲-آنالیز FTIR

شکل ۲ آنالیز مادون قرمز نانوکامپوزیت کایتونس/مگنتیت را نشان می دهد. پیوند هایی که در محدوده طول موج ۳۳۷۳/۱ تا $3348/76 \text{ cm}^{-1}$ تحت لرزش قرار می گیرند، مربوط به گروه هیدروکسیل کایتونس می باشند. پیک های موجود در طول موج ۱۵۸۷/۰۷، ۱۵۹۰/۹۳، ۱۵۹۲/۴۸ و ۱۵۸۷/۴۶ به گروه های آمین و آمید موجود در کایتونس نسبت داده می شوند. همچنین

پیک مربوط به لرزش پیوند O-Fe نیز حضور اکسیدهای آهن در زمینه کایتونس را اثبات کرد.



شکل (۳): آنالیز FTIR مربوط به پودر کایتونس استخراج شده از پوست میگو

$$\text{Degree of Deacetylation} = 97.67 - \left[26.486 \cdot \frac{A_{1655}}{A_{3450}} \right] \quad (3)$$

استخراج اعداد از نمودار شکل ۳ و جایگذاری آنها در فرمول مورد نظر مقدار درصد استیله زدایی برای پودر کایتونس تولید شده برابر با $\frac{73}{5}$ درصد شد که با توجه به اینکه در محدوده بین ۶۵ تا ۸۰ درصد قرار می‌گیرد، بنابراین برای کاربردهای بایو مفید می‌باشد، همچنین پیش بینی می‌شود که این کایتونس زیست سازگاری خوبی از خود نشان دهد.

۳-۳- تصاویر میکروسکوپ الکترونی روبشی
شکل ۴ الف تصویر SEM مربوط به پودر کایتونس استخراج شده از پوست میگو که حالت گل میخکی شکل دارد و شکل ۴ ب تصویر سطح مقطع نانو کامپوزیت کایتونس/مگنتیت را نشان می‌دهد. نانوذرات مگنتیت با این بزرگنمایی قابل رویت نیستند. اما اثر خود را بر کایتونس گذاشته اند چرا که در مقایسه با شکل

با توجه به اینکه درجه درجه زدایی کایتونس نیز نقش بسزایی در زیست سازگاری آن دارد چرا که معمولاً درصدهای استیله زدایی بین ۶۵-۸۰ بالاترین زیست سازگاری را از خود نشان داده اند [۱۵]. بنابراین با استفاده از آنالیز FTIR پودر کایتونس تولیدی و فرمول های ارائه شده توسط آقای سابنیس و همکارانش، درجه استیله زدایی محاسبه گردید. شکل ۳ آنالیز FTIR مربوط به پودر کایتونس تولید شده از پوست میگو را نشان می‌دهد با استفاده از قانون اهرم ها و رسم خطوط پایه روی نمودار و به کار بردن فرمول زیر می‌توان نسبت جذب هیدروکسیل به جذب آمید را بدست آورد [۱۶].

$$\log \frac{DF}{DE} = (A)_{amide} \quad (1)$$

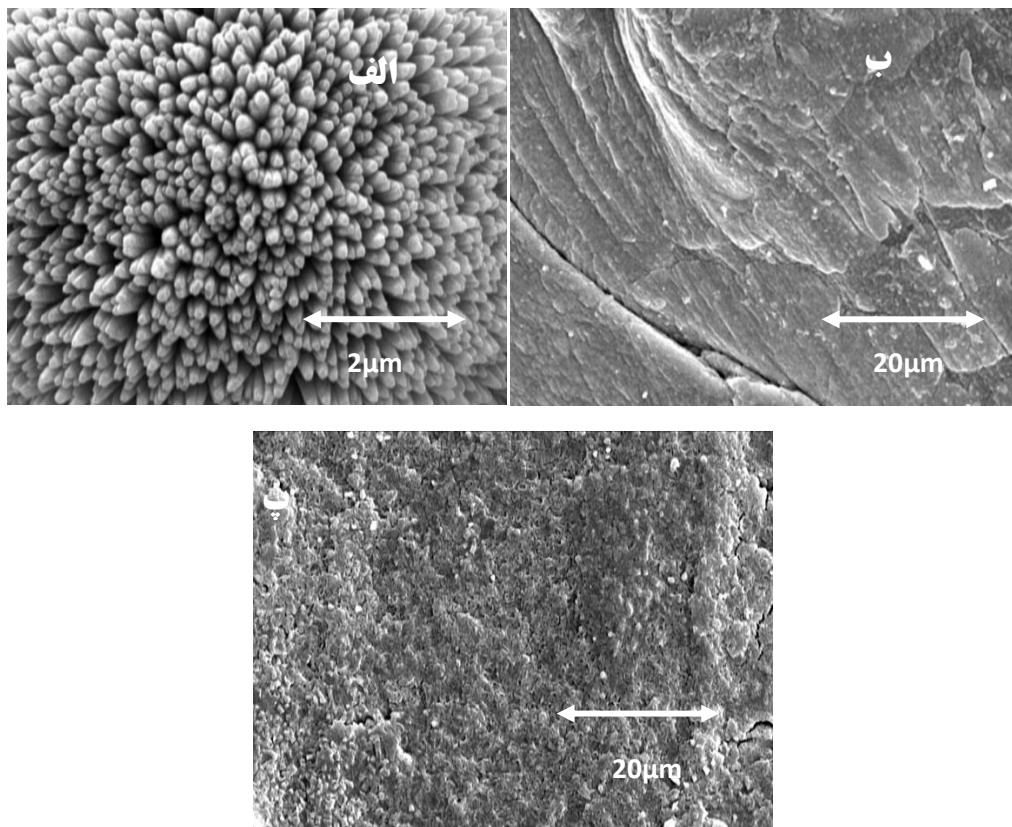
$$\log \frac{AC}{AB} = (A)_{hydroxyl} \quad (2)$$

$$\text{Absorbance ratio} = \frac{(A)_{amide}}{(A)_{hydroxyl}}$$

اندازه و مورفولوژی ذرات مگنتیت رسوب داده شده در زمینه کایتونس از از میکروسکوپ الکترونی عبوری استفاده شد. عکسبرداری از پودر نانوکامپوزیت حاصل و با بزرگنمایی ۵۰۰۰۰ برابر انجام گرفت. به این ترتیب ابعاد نانوذرات رسوب داده شده معادل با ۲۵ نانومتر رویت شد. نتایج عکسبرداری به کمک میکروسکوپ الکترونی عبوری در شکل ۵ نمایش داده شده است.

۴ پ دارای سطحی صاف تر و با خلل و فرج کمتری است. این نشان می دهد که حضور رسوب نانوذرات مگنتیت که با در اثر واکنش های شیمیایی در زمینه کایتونس به وجود آمده است می تواند تخلخل موجود در کایتونس را کاهش دهد.

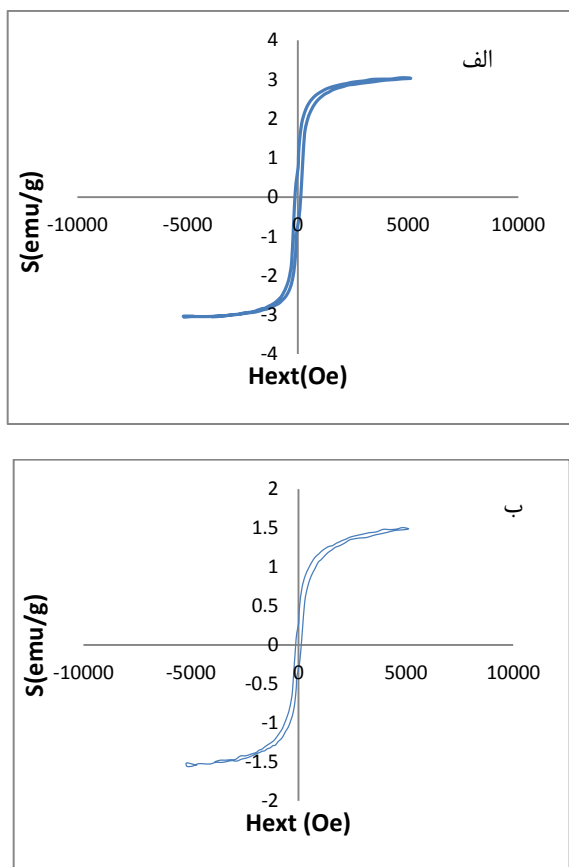
۳-۴- تصاویر میکروسکوپ الکترونی عبوری
با توجه به اینکه ابعاد نانوذرات مگنتیت با میکروسکوپ الکترونی رویشی قابل اندازه گیری نبود. بنابراین به منظور بررسی



شکل (۴): (الف): تصویر SEM مربوط به پودر کایتونس، (ب): تصویر SEM مربوط به نانوکامپوزیت کایتونس/مگنتیت و (پ): تصویر SEM مربوط به نمونه کایتونس خالص



شکل (۵): تصویر میکروسکوپ الکترونی عبوری نمونه نانو کامپوزیت کایتون/مگنتیت



شکل (۶): (الف): نمودار هیسترزیس نانو کامپوزیت کایتون/مگنتیت با نسبت

نمک های آهن $\frac{1}{0.5}$ گرم (ب): نمودار هیسترزیس نانو کامپوزیت

کایتون/مگنتیت با نسبت نمک های آهن $\frac{0.5}{0.25}$ گرم

۳-۵- آنالیز مغناطیس سنج لرزانده نمونه

خواص مغناطیسی نانو کامپوزیت با استفاده از دستگاه VSM انجام گرفت. شکل ۶الف و ب نمودارهای هیسترزیس نمونه های با نسبت مگنتیت یک به دو را نشان می دهد. میدان مغناطیس اعمالی در این آنالیز $189 \text{ kOe} \pm 5$ بود و آنالیز در دمای اتاق انجام شد. مغناطیس اشباع برای نمونه با مگنتیت دو برابر مساوی با $3/0.4 \text{ emug}^{-1}$ که به طور کلی نسبت به مگنتیت خالص کمتر است و نیروی کورسیو برابر با $128/39 \text{ Oe}$ می باشد. این کاهش به دلیل تاثیر کایتون روی رسوب مگنتیت می باشد. همچنین مغناطیس اشباع برای نمونه با مگنتیت کمتر، برابر با $1/0.57 \text{ emug}^{-1}$ شد. این مقدار مغناطیس اشباع از پودر خالص مگنتیت که برابر با $27/77 \text{ emug}^{-1}$ می باشد، کمتر است [۱۷]. دلیل این پدیده وجود فاز پلیمری کایتون در اطراف این نانوذرات است که از منحرف شدن کامل این نانوذرات در حضور میدان مغناطیسی ممانعت می کند.

نتایج نشان می دهد که دو برابر شدن مغناطیس اشباع می گردد. کایتون منجر به دو برابر شدن مغناطیس اشباع می کند.

سطح مقطع کایتوسن/مگنتیت و همچنین کایتوسن خالص را نشان داده مشخص شد که کایتوسن خالص بعد از رسوب نانوذرات مگنتیت مقدار تخلخلش کمتر می شود. مقدار مغناطیس اشباع نانوکامپوزیت با دو برابر کردن نسبت نمک های آهن دو برابر شد اما به طور کلی مغناطیس کایتوسن/مگنتیت از مگنتیت خالص کمتر است. نتایج کشت سلولی با سلول های بنیادی نشان داد که این نانوکامپوزیت زیست ساز گار می باشد.

۵- مراجع

- [1] E. Salahinejad, M. J. Hadianfard, D. D. Macdonald, S. Sharifi, M. Mozafari, K. J. Walker, A. Tahmasbi Rad, S. V. Madihally & D. Vashaee, L. Tayebi, "Surface Modification of Stainless Steel Orthopedic Implants by Sol-Gel ZrTiO₄ and ZrTiO₄-PMMA Coatings", *J. Biomed. Nanotech*, Vol. 9, pp. 1327-1335, 2013.
- [2] E. Salahinejad, M. J. Hadianfard, D. D. Macdonald, M. Mozafari, D. Vashaee & L. Tayebi, "A new double-layer sol-gel coating to improve the corrosion resistance of a medical-grade stainless steel in a simulated body fluid", *Mater. Lett.*, Vol. 97, pp. 162-165, 2013.
- [3] Q. Hu, B. Li, M. Wang & J. Shen, "Preparation and characterization of biodegradable chitosan/hydroxyapatite nanocomposite rods via in situ hybridization: a potential material as internal fixation of bone fracture", *Biomater*, Vol. 25, pp. 779-785, 2004.
- [4] F. Zhao, Y. Yin, W. Lu, Ch. Leong, W. Zhang, J. Zhang, M. Zhang & K. Yao, "Preparation and histological evaluation of biomimetic three-dimensional hydroxyapatite/chitosan-gelatin network composite scaffolds", *Biomater*, 23, 3227-3234, 2002.
- [5] P. J. VandeVord, H. W. T. Matthew, S. P. Desilva, L. Mayton, B. Wu & PH. Wooley, "Evaluation of the biocompatibility of chitosan scaffold", *J. Biomed. Mater. Res.*, Vol. 59, pp. 585-590, 2002.
- [6] J. Y. Lee, S. H. Nam, S. Y. Im, Y. J. Park, Y. M. Lee, Y. J. Seol, C. P. Chung & S. J. Lee, "Enhanced bone formation by controlled growth factor delivery from chitosan-based biomaterials", *J. Cont. Rel.*, Vol. 78, pp. 187-197, 2002.

۶-۳- کشت سلولی

تکثیر سلول روی هر نمونه به صورت تعداد سلول در واحد سطح نمونه بعد از گذشت هفت روز از زمان کشت اندازه گیری شد. تعداد سلول های زنده روی سطح نانوکامپوزیت کایتوسن/مگنتیت برابر با ۹۲۵۰ سلول بود که این رقم نشان دهنده زیست ساز گار بودن این نانوکامپوزیت می باشد به این معنی که سلول های بنیادی توانسته اند روی این کامپوزیت تکثیر شوند. شکل ۷ تصویر میکروسکوپ الکترونی رویی از سطح نمونه نانوکامپوزیت کایتوسن/مگنتیت بعد از هفت روز قرار گیری در محیط کشت با سلول های بنیادی را نشان می دهد. همانگونه که از مقایسه این تصویر با تصویر شکل ۴ ب مشخص است، سلول ها به شدت سطح نمونه را تحت تاثیر قرار داده اند و واضح است که در محیط کشت کایتوسن شروع به تخریب کرده است.



شکل (۷): تصویر میکروسکوپ الکترونی رویی از سطح نانوکامپوزیت کایتوسن/مگنتیت بعد از هفت روز قرار گیری در محیط کشت

۴- نتیجه گیری

نانوکامپوزیت طبیعی کایتوسن/مگنتیت به روش رسوب دهی درجا ساخته شد. آنالیز XRD و FTIR وجود ترکیبات سرامیکی مگنتیت و پلیمری کایتوسن را اثبات کرد. اندازه نانوذرات معادل ۲۵ نانومتر به کمک میکروسکوپ الکترونی عبوری گزارش شد. تصاویر SEM نیز مورفولوژی کایتوسن (ساختار گل میخکی) و

- Mater. Sci. Mater. Med., Vol. 2, pp. 1427–1434, 2010.
- [13] O. Kuda, N. Pinchuk, L. Ivanchenko, O. Parkhomy, O. Sych, M. Leonowicz, R. Wroblewski & E. Sowka, "Effect of Fe_3O_4 , Fe and Cu doping on magnetic properties and behaviour in physiological solution of biological hydroxyapatite/glass composites", J. Mater. Process. Technol, Vol. 209, pp. 1960–1964, 2009.
- [14] Q. Hu, F. Chen, B. Li & J. Shen, "Preparation of three-dimensional nano-magnetite/chitosan rod", Materials Letters, Vol. 60, pp. 368-370, 2006.
- [15] R. Bazargan-Lari, M. E. Bahrololoom & A. Nemati, "Sorption behavior of Zn (II) ions by low cost and biological natural hydroxyapatite/chitosan composite from industrial waste water", J. Food Agric. Environ, Vol. 9, pp. 892-897, 2011.
- [16] Sh. Sabnis & H. Block, "Improved infrared spectroscopic method for the analysis of degree of N-deacetylation of chitosan", Polymer Bulletin, Vol. 39, pp. 67-71, 1997.
- [17] D. Gopi, A. M. Thameem Ansari, E. Shinyjoy & L. Kavith, "Synthesis and spectroscopic characterization of magnetic hydroxyapatite nanocomposite using ultrasonic irradiation", Spectrochimica Acta Part A, Vol. 87, pp. 245–250, 2012.
- [7] K. Eugene & Y. L. Lee, "Implantable application of chitin and chitosan", Biomater, Vol. 24, pp. 2339-49, 2003.
- [8] K. Grandfield & I. Zhitomirsky, "Electrophoretic deposition of composite hydroxyapatite–silica–chitosan coatings", Mater. Character, Vol. 59, pp. 61-67, 2008.
- [9] A. Inukai, N. Sakamoto, H. Aono, O. Sakurai, K. Shinozaki, H. Suzuki & N. Wakiy, "Synthesis and hyperthermia property of hydroxyapatite–ferrite hybrid particles by ultrasonic spray pyrolysis", J. Magnet. Magnet. Mater, Vol. 323, pp. 965-969, 2011 .
- [10] M. Ghaemy & M. Naseri, "Synthesis of chitosan networks :Swelling, drug release, and magnetically assisted BSA separation using Fe_3O_4 nanoparticles", Carbohyd .Polym, Vol. 90, pp. 1265-1272, 2012.
- [11] A. MihaiGrumezescu, E. Andronescu, A. Ficai, C . Bleotu, D. Mihaiescu & M. C. Chifiriu, "Synthesis, characterization and in vitro assessment of the magnetic chitosan-carboxy methylcellulose bio composite interactions with the prokaryotic and eukaryotic cells", Int J .Pharm, Vol. 436, pp. 771-777, 2012.
- [12] B. F. Ajeesh, F. Francis, J. Annie & P. R. H. Varma, "Nano iron oxide–hydroxyapatite composite ceramics with enhanced radiopacity", J.